

## II. ЗАДАЧИ С ГРАНИЧНЫМИ УСЛОВИЯМИ I-ГО РОДА

### II.1. Установление стационарного потока

В общем случае граничные условия I-го рода и начальные условия к уравнениям (I.1), (I.2) для плоской мембраны имеют вид

$$\begin{aligned} c(t) = c_0, x = 0; \quad c(t) = c_\ell, x = \ell; \\ c|_{t=0} = f(x), \quad 0 \leq x \leq \ell, \end{aligned} \quad (\text{II.1.1})$$

где  $c_\ell$  и  $c_0$  — концентрации в приповерхностных слоях входной и выходной сторон мембраны.

Решение (I.2) при таких начальных и граничных условиях описывается формулой

$$\begin{aligned} c(x, t) = c_0 + (c_\ell - c_0) \frac{x}{\ell} + \frac{2}{\pi} \sum_{n=1}^{\infty} \frac{c_\ell \cos n\pi - c_0}{n} \sin \frac{n\pi x}{\ell} \times \\ \times \exp\left(-\frac{n^2 \pi^2 D t}{\ell^2}\right) + \frac{2}{\ell} \sum_{n=1}^{\infty} \sin \frac{n\pi x}{\ell} \exp\left(-\frac{n^2 \pi^2 D t}{\ell^2}\right) \times \\ \times \int_0^\ell f(\xi) \sin \frac{n\pi \xi}{\ell} \xi d\xi. \end{aligned} \quad (\text{II.1.2})$$

Если в начальный момент времени водород распределен по мембране равномерно с концентрацией  $c(0)$  (I.2), то в соответствии с (I.1) поток через мембрану единичной площади

$$\begin{aligned} J_0(t) = \frac{D(c_\ell - c_0)}{\ell} + \frac{2D}{\ell} \sum_{n=1}^{\infty} (c_\ell (-1)^n - c_0) \exp\left[-\frac{n^2 \pi^2 D t}{\ell^2}\right] + \\ + \frac{4Dc(0)}{\ell} \sum_{m=0}^{\infty} \exp\left[-\frac{(2m+1)^2 \pi^2 D t}{\ell^2}\right]. \end{aligned} \quad (\text{II.1.3})$$

Количество водорода, прошедшее сквозь мембрану за время  $t$ , описывается формулой

$$\begin{aligned} Q_0(t) = \frac{D(c_\ell - c_0)t}{\ell} + \frac{2\ell}{\pi^2} \sum_{n=1}^{\infty} \frac{c_\ell (-1)^n - c_0}{n^2} \left[1 - \exp\left(-\frac{n^2 \pi^2 D t}{\ell^2}\right)\right] + \\ + \frac{4c(0)\ell}{\pi^2} \sum_{m=0}^{\infty} \frac{1}{(2m+1)^2} \left\{1 - \exp\left[-\frac{(2m+1)^2 \pi^2 D t}{\ell^2}\right]\right\}. \end{aligned} \quad (\text{II.1.4})$$

При  $t \rightarrow \infty$  график (II.1.4) стремится к прямой линии, экстраполяция которой на  $Q_0 = 0$  дает на оси времени отрезок

$$\tau_L = \frac{\ell^2}{D(c_\ell - c_0)} \left( \frac{c_\ell}{6} + \frac{c_0}{3} - \frac{c(0)}{2} \right). \quad (\text{II.1.5})$$

Величина  $\tau_L$  называется временем запаздывания в установлении стационарного потока.

Величина стационарного потока определяется следующим выражением:

$$J_{cm} = \frac{D(c_e - c_0)}{\ell} . \quad (\text{П. I. 6})$$

Мы рассмотрели постановку и решение задачи о проникновении водорода сквозь плоскую мембрану в общем случае. Теперь рассмотрим задачи применительно к постановке опытов различными вариантами метода проницаемости, о которых говорилось во введении.

Наиболее распространенный способ – динамический вариант (режим "прорыва"). В этом случае эксперимент проводится так, что начальную концентрацию газа в мембране можно положить равной нулю. Далее, считается, что в момент подачи водорода на входной стороне образца мгновенно устанавливается концентрация, равная равновесной растворимости, а концентрация водорода на выходной стороне мембраны в любой момент времени остается равной нулю. В этом случае начальное и граничные условия имеют вид

$$c|_{t=0} = 0, 0 \leq x \leq \ell; c(t) = S_H, x = \ell; c(t) = 0, x = 0. (\text{П. I. 7})$$

В соответствии с первым уравнением Фика при выполнении таких граничных условий стационарный поток водорода сквозь мембрану единичной площади

$$J_{cm} = \frac{DS_H}{\ell} = \frac{D\Gamma p \ell^{\frac{1}{2}}}{\ell} . \quad (\text{П. I. 8})$$

В дальнейшем мы будем называть такой поток квазиравновесным и обозначать его  $J_R$ .

Из (П. I. 8) вытекают экспериментальные критерии выполнения граничных условий I-го рода: стационарный поток в вакуум должен быть прямо пропорционален  $p^{\frac{1}{2}}$  и обратно пропорционален толщине образца  $\ell$ .

В этом случае решение второго уравнения Фика имеет вид

$$c(x, t) = \frac{S_H x}{\ell} + \frac{2S_H}{\pi} \sum_{n=1}^{\infty} \frac{(-1)^n}{n} \sin \frac{n\pi x}{\ell} \exp\left(-\frac{n^2 \pi^2 D t}{\ell^2}\right). (\text{П. I. 9})$$

В соответствии с первым законом Фика поток водорода сквозь мембрану единичной площади

$$J_0(t) = \frac{DS_n}{l} \left[ 1 + 2 \sum_{n=1}^{\infty} (-1)^n \exp\left(-\frac{n^2 \pi^2 D t}{l^2}\right) \right], \quad (\text{П. I. IO})$$

а количество газа, прошедшее сквозь мембрану за время  $t$ ,

$$Q_0(t) = S_n D \left[ \frac{t}{l} - \frac{l}{6D} - \frac{2l}{D\pi^2} \sum_{n=1}^{\infty} \frac{(-1)^n}{n^2} \exp\left(-\frac{n^2 \pi^2 D t}{l^2}\right) \right]. \quad (\text{П. I. II})$$

Из этой формулы следует, что в данном случае

$$\tau_L = \frac{l^2}{6D} \quad (\text{П. I. I2})$$

Графики зависимостей  $c(x, t)$ ,  $Q_0(t)$  и  $J_0(t)$  представлены на рис. I а, б, в(I).

Таким образом, измеряя зависимость  $Q_0(t)$ , можно определить  $\tau_L$  и, зная величину  $l$ , рассчитать  $D$  по (П. I. I2). Этот метод измерения коэффициента диффузии называется методом

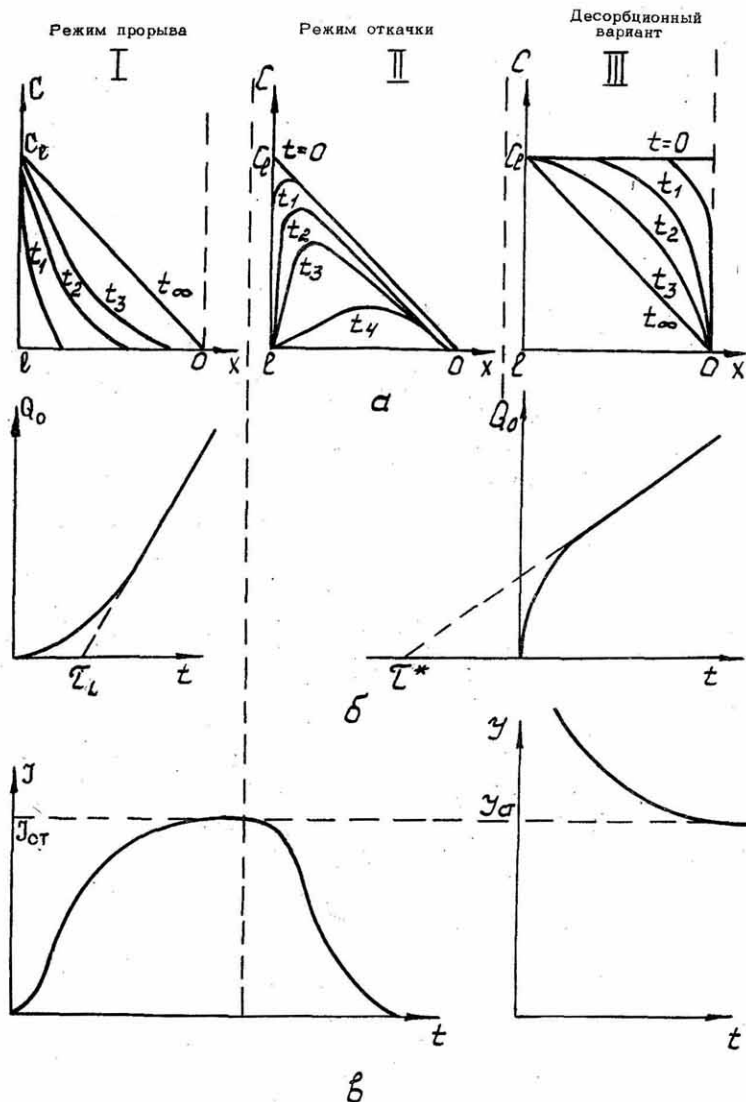


Рис. I. Распределение концентрации и типы экспериментальных кривых, получаемых методом проницаемости: а - распределение концентрации по толщине мембраны; б - количество водорода, прошедшее сквозь мембрану; в - поток водорода сквозь мембрану

Дайнеса и имеет на сегодняшний день наибольшее распространение [8].

Практически в динамическом варианте определяют поток и вычисляют величину  $\tau_L$  по формуле

$$\tau_L = L - \left[ \left( \int_0^L j_0(t) dt \right) / j_{cm} \right], \quad (\text{П. I. I3})$$

что полностью эквивалентно способу определения  $\tau_L$  путем экстраполяции линейной асимптотики зависимости  $Q_0(t)$ . В (П. I. I3)  $j_{cm}$  — экспериментальная величина стационарного потока, а  $L$  — произвольное время, большее времени стабилизации потока.

Способы измерения коэффициента диффузии, связанные с анализом зависимости  $j_0(t)$ , мы будем впредь называть методом установления потока (МУП).

Анализ формы зависимости  $j_0(t)$  позволяет выделить кроме  $\tau_L$  еще ряд характерных точек и временных интервалов, связанных с коэффициентом диффузии.

При достаточно больших временах в (П. I. IO) можно пренебречь всеми членами суммы, кроме первого, и тогда

$$\frac{j_0(t)}{j_{cm}} = 1 - 2 \exp\left(-\frac{\pi^2 D t}{l^2}\right) \quad (\text{П. I. I4})$$

или после логарифмирования

$$\ln\left(\frac{j_{cm} - j_0(t)}{j_{cm}}\right) = \ln 2 - \frac{\pi^2 D t}{l^2}. \quad (\text{П. I. I5})$$

Тангенс угла наклона зависимости  $\ln[(j_{cm} - j_0(t))/j_{cm}] = f(t)$  дает постоянную нарастания потока

$$\tau_0 = \frac{l^2}{\pi^2 D}, \quad (\text{П. I. I6})$$

из которой вычисляются  $D$ .

Если установление стационарного потока происходит медленно, то коэффициент диффузии можно определить из анализа начального участка кривой нарастания потока. В этом случае (П. I. IO) следует представить в виде

$$j_0(t) = j_{cm} \frac{2l}{\sqrt{\pi D t}} \sum_{n=0}^{\infty} \exp\left[-\frac{l^2}{4D t} (2n+1)^2\right]. \quad (\text{П. I. I7})$$

Переход от (П. I. IO) к (П. I. I7) осуществляется с помощью изве-

стного соотношения [9]

$$U_4(0, q) = U_2(0, q') \cdot \sqrt{\frac{\pi}{\ln 1/q}}, \quad (\text{П. I. 18})$$

где  $U_4(0, q) = 1 + 2 \sum_{n=1}^{\infty} (-1)^n \exp\left(-\frac{n^2 \pi^2 D t}{\ell^2}\right)$  - четвертая тета-функция

Якоби;  $q = \exp\left(-\frac{\pi^2 D t}{\ell^2}\right)$  - основной параметр Якоби;  $U_2(0, q') =$

$$= 2 \sum_{n=0}^{\infty} \exp\left[-\frac{\ell^2}{4 D t} (2n+1)^2\right] - \text{вторая тета-функция Якоби;}$$

$q' = \exp\left(-\frac{\ell^2}{D t}\right)$  - дополнительный параметр Якоби.

Формулы (П. I. 10) и (П. I. 17) отличаются тем, что ряд в (П. I. 10) быстро сходится при больших временах, а в (П. I. 17) - при малых. Поэтому для малых времен диффузии в (П. I. 17) можно пренебречь всеми членами ряда, кроме первого, и построить график зависимости  $\ln t^{1/2} J_0(t)$  от  $1/t$ . Тангенс угла наклона этой зависимости дает величину

$$\tau_n = \frac{\ell^2}{4 D}, \quad (\text{П. I. 19})$$

из которой определяется  $D$ .

Кроме упоминавшихся времен  $\tau_L$ ,  $\tau_0$  и  $\tau_n$  можно выделить еще ряд характеристических времен на кривой установления потока (рис. 2).

Время прорыва или, как его еще называют, время запаздывания для нестационарного состояния -  $\tau_g$ , которое определяется по точке пересечения касательной к кривой  $J_0(t)$ , проведенной через точку перегиба, с осью времен.

Время перегиба  $\tau_i$  - время, при котором вторая производная  $\partial^2 J_0 / \partial t^2$  меняет знак.

Время полуволны  $\tau_{1/2}$  - момент времени, при котором поток достигает половины стационарного значения.

Любым из характеристических времен можно воспользоваться для определения коэффициента диффузии [10]

$$D = \frac{\ell^2}{6 \tau_L} = \frac{\ell^2}{\pi^2 \tau_0} = \frac{\ell^2}{4 \tau_n} =$$

$$= \frac{\ell^2}{2\pi^2\tau_8} = \frac{\ell^2 \ln 16}{3\pi^2\tau_l} = \frac{\ell^2}{\pi^2\tau_{1/2}} \quad (\text{П.І.20})$$

Факт совпадения значений  $D$ , рассчитанных по различным особым точкам, может быть использован в качестве критерия однородности диффузионной среды и возможности описания экспериментальных условий граничными условиями I-го рода.

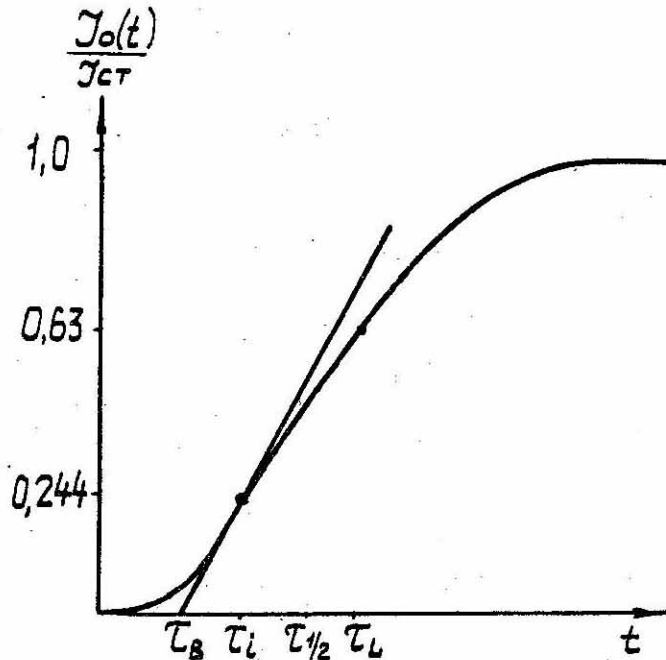


Рис.2. Характерные точки на кривой установления потока

Несколько менее распространенный, но встречающийся в практике способ измерения параметров водородопроницаемости, — динамический вариант (режим откачки). Используя этот способ после достижения стационарного состояния, в некоторый момент времени со входной стороны образца максимально быстро откачивают водород и исследуют кинетику уменьшения потока на выходе из мембраны. Начальные и граничные условия при решении (I.2) применительно к данному способу будут выглядеть следующим образом (рис. Ia II):

$$\left. \begin{aligned} c \Big|_{t=0} &= S_H \frac{x}{\ell} , \quad 0 \leq x \leq \ell ; \\ c(t) &= 0 , \quad x = 0 ; \\ c(t) &= 0 , \quad x = \ell . \end{aligned} \right\} \quad (\text{П.І.21})$$

Кинетика уменьшения потока (рис. Iв II) описывается в данном случае уравнением

$$J_0(t) = 2 J_{cm} \sum_{n=1}^{\infty} (-1)^{n+1} \exp\left(-\frac{n^2 \pi^2 D t}{\ell^2}\right). \quad (\text{II.I.22})$$

При достаточно больших временах можно пренебречь всеми членами ряда, кроме первого, и построить зависимость

$$\ln \frac{J_0(t)}{J_{cm}} = -\frac{\pi^2 D t}{\ell^2} \quad (\text{II.I.23})$$

из наклона которой определится постоянная спада потока

$$\tau_{cn} = \frac{\ell^2}{\pi^2 D} \quad (\text{II.I.24})$$

Заметим, что при диффузии в однородной мембране  $\tau_{cn} = \tau_0$ . Обычно совпадение этих величин используют в качестве критерия отсутствия в мембране ловушек водорода.

В принципе опыты по водородопроницаемости можно ставить в десорбционном варианте. В этом случае образец равномерно насыщается водородом с двух сторон, а затем водород с выходной стороны максимально быстро откачивается и проводится обычный опыт по проницаемости.

В этом случае краевые условия (рис. Iа III) имеют вид

$$\left. \begin{aligned} c|_{t=0} &= S_H, \quad 0 \leq x \leq \ell; \\ c(t) &= S_H, \quad x = \ell; \\ c(t) &= 0, \quad x = 0. \end{aligned} \right\} \quad (\text{II.I.25})$$

Поток водорода сквозь мембрану (рис. Iв III) описывается при этом выражением

$$J_0(t) = J_{cm} \left[ 1 + 2 \sum_{n=1}^{\infty} (-1)^n \exp\left(-\frac{n^2 \pi^2 D t}{\ell^2}\right) + \right. \\ \left. + 4 \sum_{m=0}^{\infty} \exp\left(-\frac{(2m+1)^2 \pi^2 D t}{\ell^2}\right) \right]. \quad (\text{II.I.26})$$

Количество газа, прошедшее сквозь мембрану (рис. I б III),

$$Q_0(t) = J_{cm} \left[ t + \frac{l^2}{3D} - \frac{2l^2}{D\pi^2} \sum_{n=1}^{\infty} \frac{(-1)^n}{n^2} \exp \left( - \frac{n^2 \pi^2 D t}{l^2} \right) \right] -$$

$$- \frac{4l^2}{D\pi^2} \sum_{m=0}^{\infty} \exp \left[ - \frac{(2m+1)^2 \pi^2 D t}{(2m+1)^2} \right] . \quad (\text{II.I.27})$$

Продолжение прямолинейного участка зависимости  $Q_0(t)$  отсекает на оси времени отрезок

$$\tau^* = - \frac{l^2}{3D} . \quad (\text{II.I.28})$$

Следует, правда, заметить, что практически выполнить современный эксперимент таким методом весьма сложно, так как невозможно достаточно быстро уменьшить фоновое парциальное давление водорода до уровня, когда изменением скорости газовыделения стенок можно пренебречь.